

ся смысл понятия поверхности разрыва, моделирующей перфорированный экран. Тем не менее, основываясь на результатах [5], можно сделать ряд выводов в пользу принятой нами постановки задачи. Оказалось, что уже на таких малых расстояниях, как два шага перфорации, и соответствующих малых временах происходит существенное выравнивание поля параметров течения газа по угловой координате. Это указывает на целесообразность одномерного подхода. Тем более, что для рассмотрения другой перфорации, например в виде круговых отверстий, как в [4], по методу [5] пришлось бы решать трехмерные нестационарные уравнения, в то время как можно ограничиться решением одномерной задачи.

## ЛИТЕРАТУРА

1. Войтенко Д. М. Взаимодействие ударной волны и проницаемой стенки.— Вестн. МГУ. Сер. 1. Математика, механика, 1969, № 3.
2. Гродзовский Г. Л. Взаимодействие нестационарных волн и перфорированных стеков.— Учен. зап. ЦАГИ, 1975, т. 6, № 5.
3. Гринь В. Т., Крайко А. Н., Миллер Л. Г. К распаду произвольного разрыва на перфорированной перегородке.— ПМТФ, 1981, № 3.
4. Иванов А. Н., Борисовская В. П. Исследование ослабления ударной волны перфорированным экраном.— Тр. ЦАГИ, 1977, вып. 1834.
5. Фонарев А. С., Подгубный В. В. Взаимодействие цилиндрической ударной волны с перфорированной преградой.— Тр. ЦАГИ, 1977, вып. 1834.
6. Численное решение многомерных задач газовой динамики/Под ред. С. К. Годунова. М.: Наука, 1976.
7. Бармин А. А., Куликовский А. Г. О разрывных решениях в механике сплошной среды.— В кн.: Некоторые вопросы механики сплошной среды. М.: МГУ, 1978.
8. Cornell W. G. Losses in flow normal to plane screens.— Trans. ASME, May 1958, p. 791.
9. Рябоконь М. П. О коэффициенте сжатия струи при истечении газа через отверстие с острой входной кромкой.— Учен. зап. ЦАГИ, 1977, т. 8, № 1.
10. Идельчик И. Е. Справочник по гидравлическим сопротивлениям. М.: Машиностроение, 1975.

Поступила 27/XII 1983 г.

УДК 518 : 517.9 : 533.9

## ЧИСЛЕННОЕ ИССЛЕДОВАНИЕ СЖАТИЯ И НАГРЕВА КОНИЧЕСКИХ МИШЕНЕЙ

B. B. ДЕМЧЕНКО, A. C. ХОЛОДОВ  
(Москва)

1. В последние годы в числе других задач лазерного термоядерного синтеза (ЛТС) большое внимание уделяется так называемым «коническим» мишениям [1—7], когда термоядерное горючее сжимается и нагревается в конической полости из тяжелого материала (свинец и т. п.) с помощью оболочечного сегмента, ускоряемого лазерным импульсом (рис. 1). Ожидается, что картина течения в основных чертах будет аналогична случаю сжатия и нагрева оболочечных микромишенией. Основные преимущества от использования подобных мишений заключаются в следующем: воздействию лазерного излучения подвергается не вся сфера, а лишь сравнительно небольшой телесный угол, что способствует созданию более однородного лазерного пятна; достигнутая в настоящее время энергия лазеров концентрируется на существенно меньшей поверхности, что позволяет повысить плотность потока энергии и смоделировать ситуацию, когда будут созданы более мощные лазеры; увеличивается время имплозии, поскольку ту же, что и в случае сферических оболочек, массу можно разместить на гораздо больших расстояниях от центра ( $\sim 1000$  мкм), при этом работа совершается на большем пути, что заметно снижает требования к пиковой мощности лазерного импульса. Безусловно, подобные мишени имеют и недостатки. При слишком малых углах раствора конической полости существенное влияние на процесс сжатия и нагрева мишени могут оказывать продукты испарения стенок полости вплоть до полного перекрытия канала и отсечения оболочечного сегмента от лазерного луча. Возникают вопросы о влиянии условий в пристеночной области на устойчивость сжатия вещества мишени, о поведении тяжелого материала на заключительной стадии процесса, в частности об образовании и размерах каверны в вершине конической полости, и др.

В данной работе представлены некоторые результаты двумерных расчетов (с использованием переменных Эйлера) подобных мишений, выполненных на основе изложенного в [8] консервативного варианта сеточно-характеристического метода [9]. Математическая модель происходящих в высокотемпературной плазме физических процессов, как и в [8], включала поглощение внешнего лазерного излучения (в одномерной постановке вдоль радиальных направлений), гидродинамическое движение,

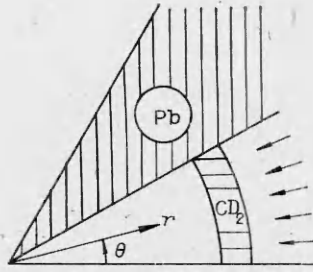


Рис. 1

электронную теплопроводность и электрон-ионную столкновительную релаксацию. Исходная система двумерных нестационарных уравнений двухтемпературной плазмы, приведена в [8], в нее дополнительно вводилось уравнение для массовой концентрации  $\xi$  одного из компонентов двухкомпонентной смеси идеальных газов

$$\frac{\partial(\rho\xi)}{\partial t} + \frac{1}{\Delta} \left[ \frac{\partial(S_{23}\rho u\xi)}{\partial\theta} + \frac{\partial(S_{13}\rho v\xi)}{\partial r} \right] = 0.$$

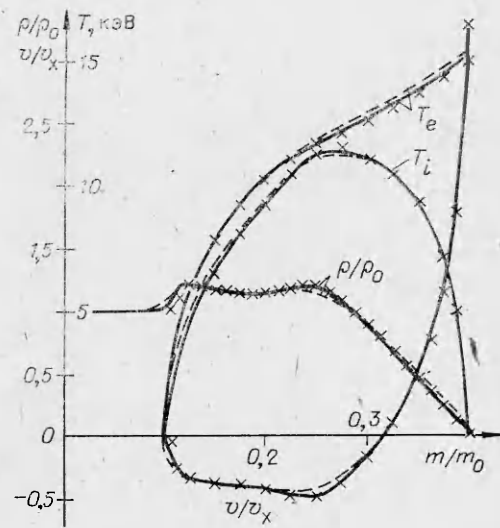


Рис. 2

Решение этого уравнения производилось на этапе гидродинамического движения используя в [8] расщепления схемы расчета по физическим процессам. Здесь  $\Delta = H_1H_2H_3$ ,  $S_{13} = H_1H_3$ ,  $S_{23} = H_2H_3$  — геометрические параметры, характеризующие элементарный объем и его поверхность;  $H_1$ ,  $H_2$ ,  $H_3$  — коэффициенты Ламэ;  $\rho$  — плотность;  $u$ ,  $v$  — азимутальная и радиальная компоненты вектора скорости;  $\theta$ ,  $r$  — сферические координаты. Теплофизические свойства плазмы (удельные теплоемкости при постоянном объеме  $c_e$ ,  $c_i$ , коэффициент поглощения  $K$ , коэффициент теплопроводности  $\kappa_e$  и т. д.) определялись обычным для многокомпонентной смеси образом, т. е. как функции плотности  $\rho$ , электронной и ионной температур  $T_e$ ,  $T_i$  и массовой концентрации  $\xi$ . Поток энергии внешнего лазерного излучения, как отмечалось, принимался однородным по азимутальному углу  $\theta$  и действующим только в пределах конической полости. Область интегрирования (в переменных Эйлера  $\theta$ ,  $r$ ) включала некоторую часть конической полости вместе с оболочкой (толщиной  $s$ )  $R_0 - \delta_1 \leq r \leq R_0 + \delta_2$  и частично область, занятую тяжелым веществом (в расчетах свинец с плотностью  $13,5 \text{ г/см}^3$ ),  $0 \leq \theta \leq \theta_* + \delta_3$  и изменялась (выбором  $\delta_1(t)$ ,  $\delta_2(t)$ ,  $\delta_3(t)$ ) по мере развития процесса так, чтобы она охватывала практически всю вовлеченную в движение массу вещества (как оболочки, так и свинца) (см. рис. 1). При этом, как и в [8], внешняя граница области интегрирования  $R_0 + \delta_2(t)$  выбиралась таким образом, чтобы свести к минимуму влияние покидающей область интегрирования массы с малой плотностью.

2. Прежде чем переходить к анализу результатов для конических мишней, кратко остановимся на сопоставлении данных для одномерных задач, полученных на основе консервативного варианта сеточно-характеристического метода [8] с использованием в нем как переменных Эйлера, так и лагранжевых массовых координат, и расчетов А. А. Самарского и его сотрудников, выполненных в переменных Лагранжа с использованием полностью консервативной неявной схемы [10, 11].

Для задач ЛТС, в которых рассматривается движение конечной массы вещества, наиболее распространены подходы с использованием переменных Лагранжа, в особенности для одномерных задач, где преимущество такого подхода, связанные, в частности, с автоматической группировкой узлов разностной сетки в областях с высокой плотностью, очевидны. Выбор переменных Эйлера предпочтительнее при значительных сдвиговых деформациях материала, возможных в многомерных задачах, он позволяет в ряде случаев более детально описать поглощение внешнего лазерного излучения в малоплотной «короне» разлетающейся части материала мишени, где в традиционном лагранжевом подходе довольно сложно обеспечить необходимый пространственный шаг разностной сетки (так же как и вблизи центра мишени). Вместе с тем в переменных Эйлера в ряде случаев трудно обеспечить необходимую подробность разностной сетки в области с большой плотностью материала, в особенности в задачах для очень тонких оболочек.

В одномерном случае при выборе лагранжевой массовой координаты  $m$  так, что  $dm = \rho r^v dr$ , использовавшаяся в расчетах система уравнений принимает вид

$$(2.1) \quad \frac{dr}{dt} = v;$$

$$(2.2) \quad \frac{\partial(1/\rho)}{\partial t} - \frac{\partial(r^v v)}{\partial m} = 0;$$

$$(2.3) \quad \frac{\partial v}{\partial t} + r^v \frac{\partial p}{\partial m} = 0;$$

$$(2.4) \quad \frac{\partial E}{\partial t} + \frac{\partial(r^v v p)}{\partial m} + \frac{\partial(r^v q)}{\partial m} = \frac{\partial}{\partial m} \left( r^{2v} \kappa_e \rho \frac{\partial T_e}{\partial m} \right) - Q_{ei}/\rho;$$

$$(2.5) \quad \frac{\partial \epsilon_i}{\partial t} + p_i \frac{\partial(r^v)}{\partial m} = Q_{ei}/\rho,$$

где аналогично [8] плотность потока лазерного излучения  $q(t, m) = \int_{m_r}^m (K/\rho r^v) dm$ ;  $Q_{ei} = Q_0 \rho^2 (T_e - T_i)/T_e^{3/2}$  — обменный член;  $E = \epsilon_e + \epsilon_i + v^2/2$  — полная энергия;  $p = p_e + p_i$  — давление ( $p_{e,i} = (\gamma - 1)\rho$ );  $\epsilon_{e,i} = c_{e,i} T_{e,i}$ ;  $\gamma$  — показатель адиабаты;  $v = 0, 1, 2$  соответственно для плоской, цилиндрической и сферической геометрии. Левая (гиперболическая) часть системы (2.1)–(2.5) аппроксимировалась, как отмечалось, на основе явной разностной схемы первого порядка точности [8], являющейся схемой с положительной аппроксимацией, дающей монотонное решение при расчетах течений с разрывами внутри области интегрирования и устойчивой при выполнении условия Куранта, Фридрихса, Леви  $\tau \leq h/\max |\lambda_i|$ , где  $\lambda_i$  — собственные значения матрицы  $A$  исходной системы (2.1)–(2.5)

$$\partial w/\partial t + A(t, m, w) \partial w/\partial m = f(t, m, w).$$

Правая часть системы (2.1)–(2.5), делающая исходную систему параболической и включающая члены с электронной теплопроводностью и обменным членом  $Q_{ei}$ , аппроксимировалась по неявной схеме, чтобы избежать характерного в явных схемах для параболических уравнений ограничения на шаг интегрирования  $\tau \sim h^2$ .

При использовании переменных Эйлера ( $t, r$ ) несколько видоизменяется исходная система (2.1)–(2.5) и выбор искомых параметров  $w = \{\rho, \rho v, \rho E, \rho \epsilon_e\}$ , что изменяет разностные соотношения в схеме [8], область интегрирования и соответствующие граничные условия.

В описанной выше постановке проведены расчеты ряда одномерных задач по сжатию плоских и сферических сплошных макромишней, а также сферических оболочек. Некоторые результаты этих расчетов представлены на рис. 2–6.

На рис. 2 для плоской мишени из ДТ (начальная плотность  $\rho_0 = 0,2 \text{ г/см}^3$ ) составляются выполненные в массивовых лагранжевых координатах расчеты с использованием консервативного варианта сеточно-характеристического (КСХ) метода (сплошные кривые — шаг интегрирования  $h = \Delta t/m_0 = 0,004$ , штриховые —  $\Delta m/m_0 = 0,008$ ) и явной полностью консервативной схемы второго порядка точности В. И. Косарева [8], близкой к известным схемам А. А. Самарского [10, 11] (крестики на рис. 2 —  $\Delta m/m_0 = 0,01$ ). В момент времени  $t = t_{ii} = 1 \text{ нс}$  ( $t_{ii}$  — длительность импульса треугольной формы) приведены профили плотности  $\rho/\rho_0$ , электронной  $T_e$  (кэВ) и ионной  $T_i$  (кэВ) температур, а также безразмерной скорости  $v/v_x$  ( $v_x = r_x/t_{ii} = 10^9 \text{ см/с}$ ). Плотность энергии лазерного импульса  $\mathcal{E} = 6,6 \cdot 10^7 \text{ Дж/см}^2$  и другие определяющие параметры соответствуют расчетам, проведенным в [12].

Данные рис. 3, 4 получены для сжатия и нагрева 10%-ной сферической оболочки из  $\text{CD}_2$  ( $\rho_0 = 1 \text{ г/см}^3$ ) трапециевидным лазерным импульсом (рис. 4) длительностью  $t_{ii} = 0,1 \text{ нс}$  с общей энергией  $E = 300 \text{ Дж}$ . Начальный радиус оболочки  $R_0 = 100 \text{ мкм}$ . Приведены профили параметров в момент  $t = 0,036 \text{ нс}$  (рис. 3) и зависимость от времени максимальных в потоке значений плотности  $\rho_{\max}$ , плотности внутренней границы оболочки  $\rho_L$  и плотности в центре мишени  $\rho_{\text{ц}}$  (рис. 4). Сопоставляются расчеты в массивных переменных Лагранжа (общее число узлов разностной сетки  $M = 50$ ) по КСХ-методу (сплошные линии) и по неявной полностью консервативной схеме [10, 11], выполненные в ИПМ АН СССР (штриховые линии). Как и в предыдущем варианте, совпадение результатов расчетов вполне удовлетворительное.

Численное моделирование двумерных задач проводилось на основе схемы [8] с использованием переменных Эйлера, поэтому представляется интерес провести сопоставление этой схемы с данными других методов при использовании в ней именно этих переменных. Некоторые результаты подобных сопоставлений с расчетами, выполненными в ИПМ АН СССР по схеме [10, 11], приведены на рис. 5, 6 для сплошной сферической мишени из  $\text{CD}_2$  (рис. 5, импульс треугольной формы длительностью  $t_{ii} = 1 \text{ нс}$  и общей энергией  $E = 300 \text{ Дж}$ , начальный радиус сферы  $R_0 = 55 \text{ мкм}$ ) и 10%-ной оболочки из  $\text{CD}_2$  (для того же, что на рис. 3, 4, варианта). Сплошные кривые на рис. 5, 6 — расчет по КСХ-методу в переменных Эйлера, штриховые — данные ИПМ АН СССР (расчеты в переменных Лагранжа), профили параметров в момент  $t = 0,5 \text{ нс}$  и  $t = t_{ii} = 0,1 \text{ нс}$  соответственно. В целом наблюдается вполне удовлетворительное

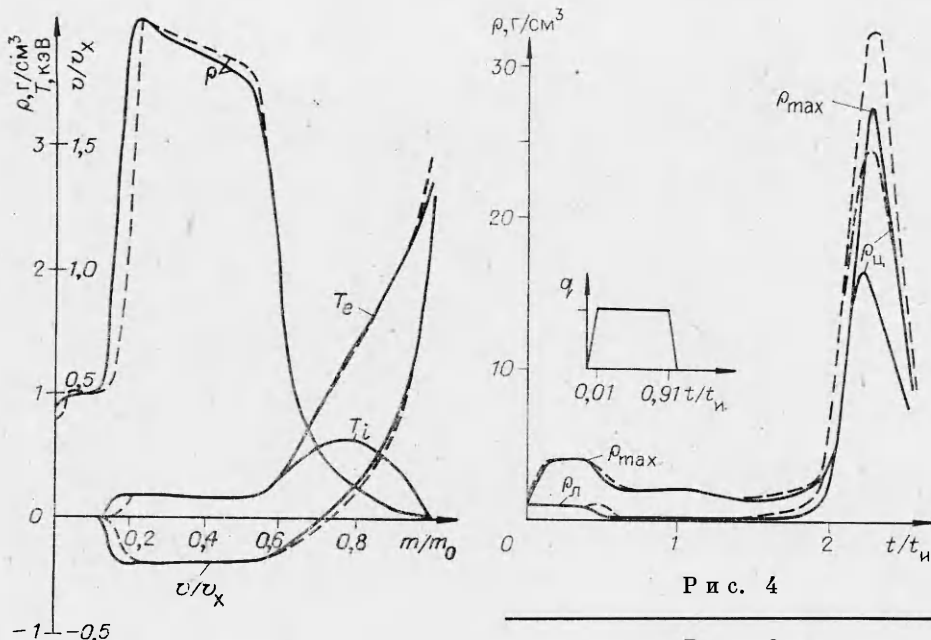


Рис. 4

Рис. 3

согласие в данных, однако схема [8] в переменных Эйлера не воспроизводит некоторых деталей в профиле плотности, в частности дополнительного поджатия материала мишени между фронтом ударной волны и тепловым фронтом, наблюдаемого в расчетах с использованием переменных Лагранжа (второй слева максимум плотности на рис. 5). Заметно хуже, чем в расчетах с использованием переменных Лагранжа, воспроизводится максимальное в материале мишени значение плотности для оболочечных задач (хотя ее средние значения в сжатой части оболочки практически совпадают, рис. 6). Вместе с тем расчеты в переменных Эйлера дают более четко выраженный фронт бегущей к центру ударной волны, который в физических координатах  $(t, r)$  сильно размазанный в массовых переменных Лагранжа, спецификой их является то, что в областях с малой плотностью, а также вблизи центра мишени в сферической геометрии разностная сетка менее подробна, чем в плотной среде и вне центра мишени.

Представленные выше сравнения показывают, что схема [8] дает вполне приемлемые для данного класса задач результаты, в том числе в переменных Эйлера, и может служить базой для исследования различных многомерных эффектов, возникающих при сжатии и нагреве микромишеней лазерным излучением.

3. Одномерные расчеты по сжатию и нагреву микромишеней (в том числе и «конических») позволяют довольно детально воспроизвести основные черты рассматриваемых явлений, оценить влияние некоторых физических процессов, проводить различного рода оптимизацию мишеней и т. п., однако оставляют открытым вопрос о влиянии эффектов, связанных с реальным многомерным характером рассматриваемых задач. Некоторые эффекты, связанные именно с многомерностью задачи для конических мишеней, иллюстрируются на рис. 7–13.

На рис. 7, 8 представлены данные, соответствующие начальной стадии взаимодействия лазерного импульса с конической мишенью при следующих значениях определяющих параметров: полуугол конической полости в свинце  $\theta_* = 7,5^\circ$ , толщина оболочки из  $\text{CH}_2$  ( $\rho_0 = 1 \text{ г}/\text{cm}^3$ )  $\delta = 3 \text{ мкм}$ , внешний радиус оболочки  $R_0 = 1000 \text{ мкм}$ , длительность импульса треугольной формы  $t_n = 25 \text{ нс}$ , общая энергия импульса  $E = 600 \text{ Дж}$ . В момент времени  $t = 0,25 \text{ нс}$ , когда происходит выход на внутреннюю границу оболочки  $r = R_0 - \delta$ , формирующуюся в результате воздействия лазерного импульса ударной волны, показаны поле скоростей (рис. 7), изобары  $p/p_x = \text{const}$  ( $p_x = \rho_0 R_0^2/t_n^2$ ) и распределение давления вдоль радиальных направлений  $\theta = 0$ ,  $\theta = \theta_* = 7,5^\circ$  и азимутального направления  $r = 999 \text{ мкм}$  (рис. 8, штрихпунктир — начальное положение границы конической полости). Видно, что вблизи границы со свинцом волна сжатия (формирующаяся перед тепловым фронтом) раньше выходит на внутреннюю границу оболочки. Вне пристеночной области распределение параметров в азимутальном направлении практически однородное и картина взаимодействия обычна для оболочечных задач: радиальное движение сжатой части сферического сегмента к центру, разлет горячей, малоплотной плазмы в «короне». Как видно из приведенного на рис. 7 поля скоростей, в пристеночной области аналогичная радиальным направлениям вблизи оси картина наблюдается и в азимутальном направлении: распространение волны сжатия в свинце, испарение и затекание в коническую полость

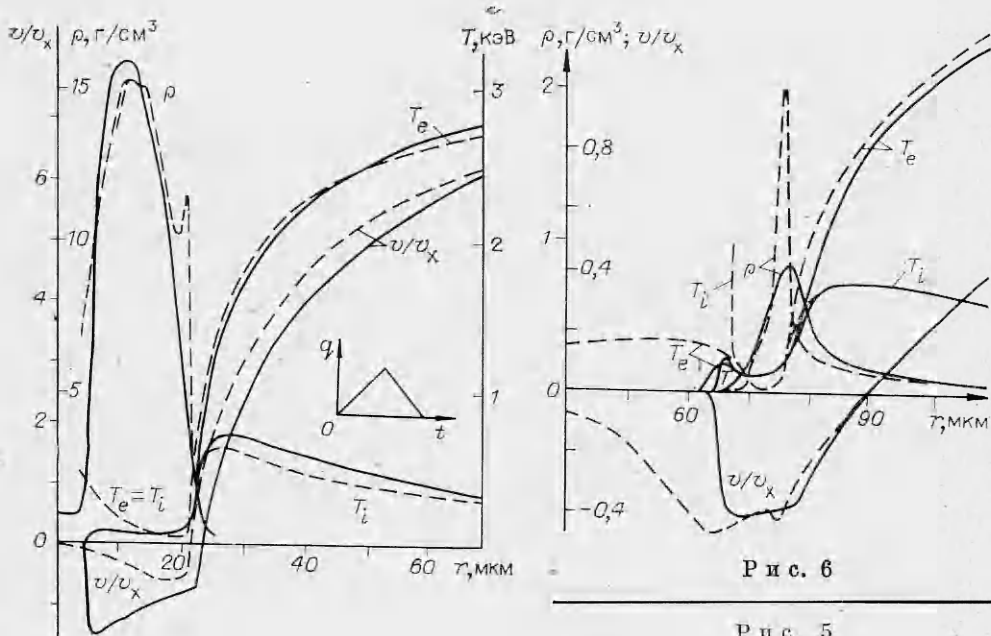


Рис. 5

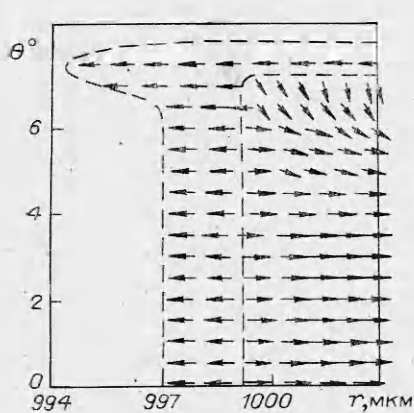


Рис. 7

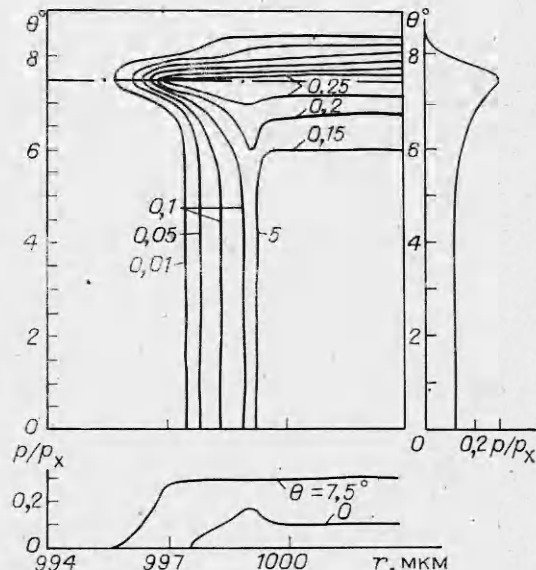


Рис. 8

паров свинца. Взаимодействие в пристеночной области нормальных дуг к другу «радиальной» и «азимутальной» струй продуктов испарения сферического сегмента и свинца формирует в этой области зону повышенного давления (см. рис. 8), что приводит к более раннему выходу «радиальной» волны сжатия на внутреннюю границу оболочечного сегмента вблизи  $\theta = \theta_*$ . На данном этапе воздействия лазерного импульса, когда разлет плазмы происходит практически в недеформированном «цилиндрическом» канале, давление в «короне» вдоль радиальных направлений  $\theta = \text{const}$  изменяется слабо.

Аналогичная картина начальной стадии воздействия лазерного импульса на сферический сегмент, помещенный в коническую полость из свинца, наблюдается и при других значениях определяющих задачу параметров. Приведенные на рис. 9—13 данные соответствуют случаю  $\theta_* = 25^\circ$ ,  $\delta = 2$  мкм,  $R_0 = 1726$  мкм, длительность импульса прямоугольной формы  $t_u = 20$  нс при плотности потока излучения  $q_F(t) = q_0 = 6 \cdot 10^{13}$  Вт/см<sup>2</sup>. Сферическая пленка и заполняющий коническую полость ос-

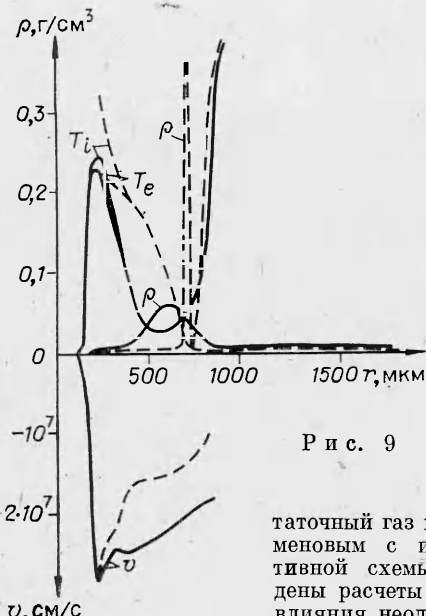


Рис. 9

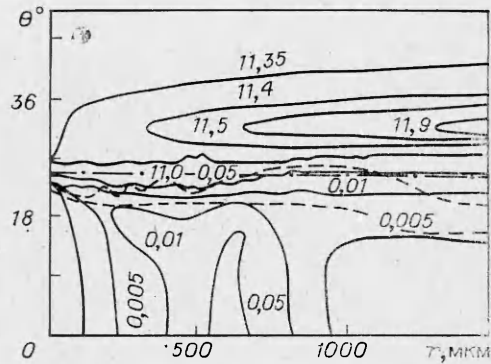


Рис. 10

раточный газ выбирались из  $\text{CD}_2$ . Для этого варианта А. Ю. Семеновым с использованием неявной полностью консервативной схемы [10, 11] в переменных Лагранжа проведены расчеты в одномерной постановке с целью оценки влияния неодномерности в рассматриваемой задаче и выбора переменных Эйлера использовавшегося в двумерных расчетах консервативного варианта сеточно-характеристического метода [8].

На этапе полета сферического сегмента к вершине конической полости рассмотренная выше начальная картина течения сохраняется. Как видно из сравнения профилей плотности и скорости, а также электронной  $T_e$  (кэВ) и ионной  $T_i$  (кэВ) температур (рис. 9) вдоль оси симметрии  $\theta = 0$  в момент времени  $t = 10,3$  нс (незадолго до подхода ударной волны к вершине конической полости), в целом двумерное течение вблизи оси симметрии (сплошные кривые) согласуется с результатами одномерных расчетов (штриховые), в частности, по положению фронтов ударной и тепловой волн и расположенной между ними оболочки и т. д. Наибольшее отличие в пиковом значении плотности оболочки (при достаточно близкой величине массы, движущейся к центру ее части), что обусловлено выбором переменных Эйлера в двумерной численной схеме и отмечалось в сопоставлениях результатов расчетов одномерных задач для сферических оболочек, обсуждавшихся в п. 2.

На рис. 10, 11 в момент времени  $t = 10,5$  нс приводятся соответственно изохоры  $\rho (\text{г}/\text{см}^3) = \text{const}$  и изотермы  $T_e = \text{const}$ , штриховые кривые — изолинии концентраций  $\xi = 0,1$  (верхние кривые) и  $\xi = 0,9$  (нижние), условно передающие текущее положение и форму границы со свинцом, штрихпунктир — начальное положение границы конической полости.

На этом этапе движения сферического сегмента к центру можно выделить следующие основные черты. Оставаясь относительно холодной, оболочка движется к центру впереди фронта тепловой волны, при этом она заметно увеличивается по толщине («расплывается»). Впереди оболочки по газу с малой плотностью, все более опережая оболочку, движется ударная волна. В большей части конической полости, прилегающей к оси симметрии, течение радиальное и близкое к одномерному (азимутальные составляющие поля скоростей много меньше радиальных). Двумерность течения проявляется в основном вблизи границы со свинцом, причем, как и на начальной стадии, наблюдается опережающее движение ударной волны к центру вблизи этой границы (скорость фронта ударной волны вблизи границы со свинцом заметно больше, чем вблизи оси симметрии течения). Отличие в скорости различных частей самой оболочки существенно меньше; вблизи оси она движется в среднем даже несколько быстрее, о чем свидетельствует, например, изолиния  $\rho = 0,05$  на рис. 10. Имеются две относительно горячие области: «корона», где электронная и ионная температуры примерно равны и порядка 0,5 кэВ, и область непосредственно за фронтом ударной волны, где из-за малой плотности происходит отрыв электронной и ионной температур, особенно заметный вблизи границы со свинцом. Вершины конической полости достигает вначале участок ударной волны, движущийся в радиальном направлении вблизи границы со свинцом, повышая там температуру и давление, при этом, как и в рассмотренном в [8] случае скатия и нагрева оболочных микромешеней с гармоническими возмущениями их формы, имеет место тенденция к образованию вихревого движения в центральной части конической полости между ее вершиной и движущейся к центру оболочкой. В области «короны» продукты испарения свинца частично заполняют периферийную часть конической полости (о чем можно судить по смещению к оси  $\theta = 0$  изолиний  $\xi = \text{const}$ ), однако в целом эта часть конической полости заполнена продуктами ис-

парения оболочечного сегмента, т. е. перекрытие канала отсутствует. В свинце наблюдается распространение волны сжатия.

Наибольший интерес на этом этапе движения оболочечного сегмента в конической полости представляет возникновение неустойчивости границы раздела со свинцом в области между фронтом ударной волны и тепловым фронтом, о чем свидетельствует поведение в ней линии  $\xi = 0,1$  (см. рис. 10, 11). Такое явление напоминает неустойчивость Кельвина — Гельмгольца и практически отсутствует в области «короны» (позади теплового фронта), где происходит полное выравнивание параметров за счет электронной теплопроводности. В целом на этом этапе деформация конической полости довольно мала, и в первом приближении вплоть до момента прихода ударной волны к вершине конической полости подобные задачи вполне можно моделировать соответствующими одномерными расчетами.

Заключительный этап сжатия и нагрева сферического сегмента в конической полости представлен на рис. 12, 13, где для момента времени  $t = 14,9$  нс соответственно показаны изохоры  $\rho$  ( $\text{г}/\text{см}^3$ ) = const и изотермы  $T_e = \text{const}$  и  $T_i = \text{const}$ , штрихованные кривые — изолинии концентраций  $\xi = 0,1$  и  $0,9$ , штрихунктир — начальное положение границы со свинцом. На этом этапе, как видно по изолиниям  $\rho = \text{const}$ , в свинце вблизи вершины конической полости происходит образование и развитие углубления — каверны, имеющей к моменту  $t = 14,9$  нс размер  $\sim 50$  мкм (рис. 12), замыкаемой со стороны конической полости остатками оболочки на расстоянии  $r \sim 100$ — $150$  мкм, за которой расположен фронт тепловой волны и малоплотная «корона» с температурой  $\sim 1$  кэВ. Температура в плазме каверны  $\sim 0,3$  кэВ, плотность порядка нескольких десятых  $\text{г}/\text{см}^3$ , т. е. сжатие сравнительно небольшое, что обусловлено образованием ударной волны, значительно опережающей в своем движении основную массу оболочечного сегмента, и прогревом ее газа в конической полости до прихода оболочки в центральную часть мишени. Периферийная часть конической полости деформирована довольно слабо, причем продукты испарения свинца не затекают в полость далее луча  $\theta = 18^\circ$ , что видно по поведению изолиний  $\xi = \text{const}$ , имеющих в этой части конической полости форму, близкую к лучам  $\theta = \text{const}$ .

Таким образом, при сжатии и нагреве лазерным импульсом тонких сегментов, помещаемых в коническую полость из тяжелого вещества, характерными особенностями, полученными в процессе численного моделирования подобных задач в двумерной постановке, являются: образование в начальные моменты воздействия лазерного импульса области повышенного давления в пристеночном слое и более ранний выход в пристеночной области на внутреннюю границу оболочечного сегмента волны сжатия, формирующейся перед фронтом тепловой волны и распространяющейся внутрь мишени; неустойчивое поведение границы со свинцом (неустойчивость типа Кельвина — Гельмгольца) на участке между фронтом опережающей движение основной массы сегмента ударной волны и фронтом тепловой волны на этапе полета оболочечного сегмента к вершине конической полости; образование и развитие в тяжелом материале вблизи вершины конической полости углубления (каверны) при слабой общей деформации периферийной части конической полости; затекание в периферийную часть конической полости продуктов испарения ее стенок, однако без полного перекрытия канала.

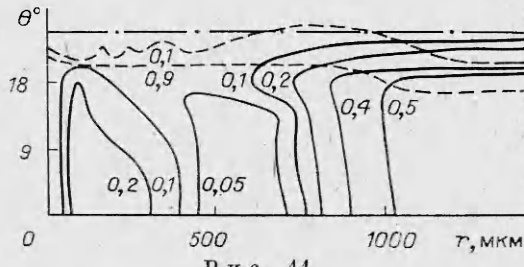


Рис. 11

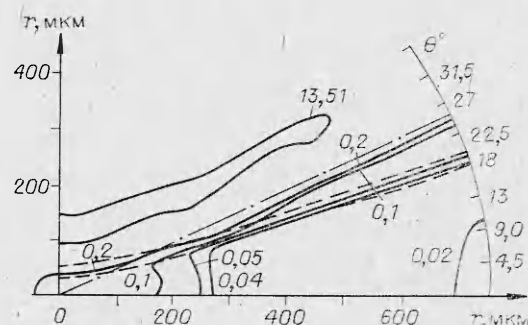


Рис. 12

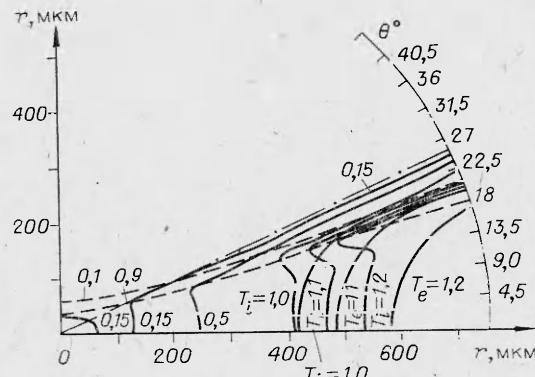


Рис. 13

## ЛИТЕРАТУРА

1. Fraley G. S., Mason R. J. Preheat effects on microballon laser-fusion implosions.— Phys. Rev. Lett., 1975, v. 35, N 8.
2. Mason R. J., Brockway D. V., Lindman E. L. 2-d implosion of structured pellets for laser fusion. Los-Alamos Report LA—VR—76—2319, 1976.
3. Вовченко В. И., Гончаров А. С. и др. Генерация термоядерных нейтронов при лазерном воздействии на конические мишени.— Письма в ЖЭГФ, 1977, т. 26, № 9.
4. Derentowicz I., Kaliski S. et al. Generation of thermonuclear fusion neutrons by means of a pure explosion. II. Experimental results.— Bull. Acad. pol. sci. Ser. sci. techn., 1977, v. 25, N 10.
5. Анисимов С. И., Вовченко В. И. и др. Исследование процесса генерации термоядерных нейтронов при лазерном воздействии на конические мишени.— Письма в ЖТФ, 1978, т. 4, № 7.
6. Демченко В. В., Холодов А. С. Газовые и конические мишени. Аналитические решения. М.: НТО МФТИ, 1979 (дел. в ВИНИТИ. Центр, № Б 821668).
7. Таран М. Д., Тишкин В. Ф. и др. О моделировании схлопывания квазисферических мишени в твердотельных конусах. Препринт ИПМ АН СССР, 1980, № 127.
8. Белоцерковский О. М., Демченко В. В. и др. Численное моделирование некоторых задач лазерного сжатия оболочек.— ЖВММФ, 1978, т. 18, № 2.
9. Магомедов К. М., Холодов А. С. О построении разностных схем для уравнений гиперболического типа на основе характеристических соотношений.— ЖВММФ, 1969, т. 9, № 2.
10. Самарский А. А., Волосевич П. П. и др. Метод конечных разностей для решения одномерных нестационарных задач магнитной гидродинамики.— ЖВММФ, 1968, т. 8, № 5.
11. Самарский А. А., Попов Ю. П. Разностные схемы газовой динамики. М.: Наука, 1975.
12. Афанасьев Ю. В., Басов Н. Г. и др. Нагрев дейтериево-тритиевой плазмы до термоядерных температур с помощью излучения ОКГ. Препринт ФИАН СССР, 1972, № 66.

Поступила 15/VI 1984 г.

УДК 620.178.73

## МЕТОД ОПРЕДЕЛЕНИЯ УДАРНЫХ АДИАБАТ НИЗКОПЛОТНЫХ МАТЕРИАЛОВ

Л. В. АЛЬШУЛЕР, Г. С. ДОРОНИН, С. В. КЛОЧКОВ  
(Москва)

Исследование хода ударных адабат материлов с пониженной начальной плотностью дает возможность судить о состоянии вещества в области высоких давлений и температур. Обычно при определении ударных адабат используется «метод отражения» [1]. В образец из экрана с известной ударной адабатой вводится ударная волна. Регистрируется скорость ударной волны в экране и исследуемом образце. Массовая скорость в исследуемом материале определяется на основании измеренных значений скорости ударной волны и ударной адабаты материала экрана. Давление  $p$  и степень сжатия  $\sigma$  вещества на ударной адабате определяются по законам сохранения:

$$p = \rho_0 D u, \quad \sigma = p/p_0 = D/(D - u),$$

где  $\rho_0$  — исходная плотность исследуемого материала;  $\rho$  — плотность материала за фронтом ударной волны (ФУВ);  $D$  — скорость ударной волны;  $u$  — массовая скорость.

Используются и другие методы [2, 3], когда в исследуемом материале при помощи нескольких электромагнитных датчиков определяются скорость ударной волны и массовая скорость.

Все эти методы дают хорошие результаты при определении ударных адабат слабосжимаемых веществ. При исследовании низкоплотных материалов, обладающих значительной сжимаемостью, методами [1—3] не удается точно определить степень сжатия вещества на ударной адабате. Дело в том, что в низкоплотных материалах значения скорости ударной волны  $D$  и массовой скорости  $u$  близки между собой, поэтому при независимом измерении этих величин их разность определяется с большой ошибкой. Это в свою очередь приводит к значительным ошибкам в определении степени сжатия вещества за фронтом УВ.

Для повышения точности определения степени сжатия вещества за ФУВ предлагаются метод, позволяющий непосредственно измерять временной интервал, пропорциональный разности ( $D - u$ ). Для этого в исследуемый образец из экрана вводится ударная волна с постоянными параметрами за фронтом, а в образце на расстоянии  $h_0$  от экрана помещается игла из токопроводящего материала, динамическая жесткость которого значительно превышает динамическую жесткость материала образца. Такая игла за фронтом ударной волны обтекается ударно-сжатым веществом и прак-